

УДК 535.817.1

## АБЕРРАЦИОННЫЕ СВОЙСТВА ФРЕНЕЛЕВСКИХ КОПИЙ ГОЛОГРАММ

*В. А. Ванин и Г. И. Грейсух*

Получены выражения для коэффициентов первичных aberrаций копий-голограмм, получаемых интерференционным копированием голограмм-оригиналов в зоне дифракции Френеля. Исследовано влияние условий копирования на aberrации в восстановленном изображении.

Как отмечалось в работе [1], в настоящее время в связи с началом практического использования голографии в народном хозяйстве актуальной задачей является разработка высококачественных методов копирования

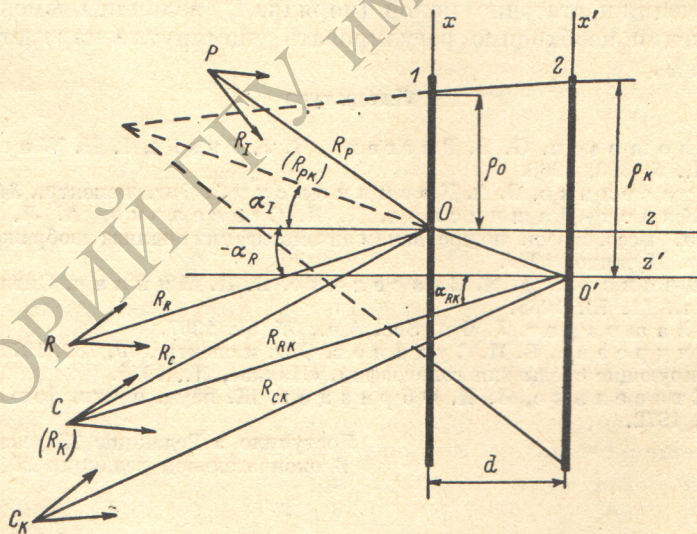


Схема интерференционного копирования голограмм в зоне дифракции Френеля. 1 — голограмма-оригинал, 2 — копирующий фотоматериал.  $P, R, C, I$  — объектный, опорный, восстанавливющий и восстановленный источники оригинала;  $P_k, R_k, C_k$  — объектный, опорный, восстанавливющий источники копии.

ния голограмм. В этой же работе было показано, что наиболее перспективным является интерференционный метод копирования, который применим для всех типов голограмм.

Качество изображения, восстанавливаемого голограммой-копией, так же как и обычной голограммой, в значительной степени определяется ее aberrациями. Рассмотрим aberrационные характеристики копий голограмм и их зависимость от условий копирования. Аберрационный анализ проведем для наиболее широко применяемой схемы интерференционного копирования в зоне дифракции Френеля [1]. Копии, полученные по этой схеме, будем называть ниже френелевскими копиями.

На рисунке представлена наиболее общая схема получения френелевских копий внеосевых голограмм. Предполагается, что голограмма-оригинал и копия регистрируются в бесконечно тонкой фоточувствительной среде, являющейся идеальным квадратичным детектором. Голограмма-оригинал и копия лежат в параллельных плоскостях  $i$ , расстояние между ними равно  $d$ . Голограмма-оригинал образована двумя точечными источниками  $P$  и  $R$  (объектным и опорным) на длине волны  $\lambda_0$ . При копировании голограмма освещается источником  $C$  на длине волны  $\lambda_c$ . Этот источник является восстанавливающим для оригинала и опорным для копии ( $R_k$ ). Голограмма-копия формирует изображение на длине волны  $\lambda_{ck}$ , восстанавливающий источник —  $C_k$ , радиус апертуры голограммы-оригинала —  $\rho_0$ , радиус апертуры копии —  $\rho_k$ .

Волновая aberrация френелевской копии голограммы  $W$  является суммой волновой aberrации фронта, реконструированного голограммой-оригиналом  $W_0$  и aberrации  $\tilde{W}_k$ , обусловленной несоответствием восстанавливающего и опорного фронтов копии

$$W = W_0 + \tilde{W}_k. \quad (1)$$

В системе координат с центром в точке  $O'$  в плоскости копии (см. рисунок) и в приближении третьего порядка, позволяющем считать волновую aberrацию при распространении волнового фронта неизменной, aberrационные коэффициенты оригинала в плоскости копии имеют вид

$$\left. \begin{array}{l} S_{0k} = h^4 S_0, \\ C_{0k} = h^3 C_0, \\ A_{0k} = h^2 A_0. \end{array} \right\} \quad (2)$$

где  $h = \rho_0 / \rho_k$ , а  $S_0$ ,  $C_0$ ,  $A_0$  — коэффициенты сферической aberrации, комы и астигматизма голограммы-оригинала в ее собственной плоскости, вычисляемые в системе координат с центром в точке  $O$ . Из рисунка видно, что отношение радиусов апертуры голограммы-оригинала и копии может быть выражено через координаты восстановленного оригиналом изображения  $R_I$ ,  $a_I$  и величину зазора  $d$

$$h = \frac{R_I \cos \alpha_I}{R_I \cos \alpha_I + d}. \quad (3)$$

Используя известные формулы для первичных aberrаций внеосевых голограмм [2] и суммируя aberrации оригинала и копии (также вычисленные в системе координат с центром в точке  $O'$ ), получим выражение для волновой aberrации фронта восстановленного голограммой-копией

$$W = \frac{2\pi}{\lambda_{ck}} \left[ -\frac{1}{8} S' \rho^4 + \frac{1}{2} \rho^3 (C'_x \cos \theta + C'_y \sin \theta) - \right. \\ \left. - \frac{1}{2} \rho^2 (A'_x \cos^2 \theta + A'_y \sin^2 \theta + 2A'_{xy} \cos \theta \sin \theta) \right], \quad (4)$$

где

$$\left. \begin{array}{l} S' = S_k + \mu_k h^4 S_0, \\ C' = C_k + \mu_k h^3 C_0, \\ A' = A_k + \mu_k h^2 A_0, \end{array} \right\} \quad (5)$$

$\rho$ ,  $\theta$  — полярные координаты в плоскости копии;  $\mu_k = \lambda_{ck} / \lambda_c$ ;  $S_k$ ,  $C_k$ ,  $A_k$  — aberrационные коэффициенты собственно копии, обусловленные неадекватностью восстанавливающего и опорного фронтов копии.

Аберрационные коэффициенты как оригинала, так и собственно копии имеют вид

$$\left. \begin{aligned} S &= \mu \left( \frac{1}{R_R^3} - \frac{1}{R_p^3} \right) - \frac{1}{R_e^3} - \frac{1}{R_I^3}, \\ C_x &= \mu \left( \frac{x_R}{R_R^3} - \frac{x_p}{R_p^3} \right) - \frac{x_e}{R_e^3} - \frac{x_I}{R_I^3}, \\ A_x &= \mu \left( \frac{x_R^2}{R_R^3} - \frac{x_p^2}{R_p^3} \right) - \frac{x_e^2}{R_e^3} - \frac{x_I^2}{R_I^3}, \end{aligned} \right\} \quad (6)$$

где  $\mu = \mu_0 = \lambda_e / \lambda_0$  в аберрационных коэффициентах оригинала и  $\mu = \mu_k$  в коэффициентах копии;  $R$  и  $x$  — координаты точечных источников относительно центров соответствующих голограмм, т. е. точек  $O$  и  $O'$ ; индексы  $P$ ,  $R$ ,  $C$ ,  $I$  относятся к объектным, опорным, восстанавливающим и восстановленным источникам оригинала или копии. Коэффициенты  $C_y$ ,  $A_y$  и  $A_{xy}$  вычисляются аналогично.

Расстояния от соответствующих точечных источников до центра копии, входящие в аберрационные коэффициенты копии, связаны с расстояниями от тех же источников до центра оригинала соотношением

$$R_{ik} = \sqrt{R_i^2 + \frac{d^2}{\cos^2 \alpha_I} + 2 \frac{R_i d}{\cos \alpha_I} \cos(\alpha_I - \alpha_i)}, \quad (7)$$

для  $R_{pk}$  формула (7) принимает следующий вид:

$$R_{pk} = R_I + \frac{d}{\cos \alpha_I}. \quad (8)$$

Из (5) и (6) следует, что при  $d=0$  волновая аберрация френелевской копии  $W$  не зависит от условий копирования, а определяется лишь формой фронта и длиной волны восстанавливающего излучения. Аберрации в изображении отсутствуют при выполнении условий  $\lambda_{ck} = \lambda_0$ ,  $R_{ck} = R_R$ ,  $\alpha_{ck} = \alpha_R$ . Если длины волн и координаты опорного, копирующего и восстанавливающего источников совпадают, то волновая аберрация тождественно равна нулю при любой величине зазора между копией и оригиналом.

Анализ аберрационных коэффициентов френелевской копии в общем виде весьма затруднителен, поэтому рассмотрим частный случай  $\alpha_p = 0$ ;  $R_R = \infty$ ,  $\alpha_R = 0$ ;  $R_e = \infty$ ,  $\alpha_e = 0$ ;  $R_{ck} = \infty$ ,  $\alpha_{ck} = 0$ ;  $\mu_0 \neq \mu_k \neq 1$ , при котором имеет место лишь сферическая аберрация, и на этом примере проанализируем зависимость величины аберрации копии от условий копирования. Легко показать, что в этом случае

$$S_0 = \frac{\mu_0 (\mu_0^2 - 1)}{R_p^3}, \quad (9)$$

$$S_k = \frac{\mu_k \mu_0^3 (\mu_k^2 - 1)}{(R_p + \mu_0 d)^3}. \quad (10)$$

Подставляя выражения (9) и (10) в формулы (5) и (4), получим

$$W = -\frac{1}{8} \frac{2\pi}{\lambda_{ck}} \frac{\mu_k \mu_0 \rho_k^4}{(R_p + \mu_0 d)^3} \left[ \mu_0^2 (\mu_k^2 - 1) + \frac{R_p (\mu_0^2 - 1)}{R_p + d \mu_0} \right]. \quad (11)$$

При  $\mu_k \mu_0 = 1$ , т. е. при восстановлении копии когерентным излучением с длиной волны, на которой регистрировался оригинал (случай, часто встречающийся на практике), формула (11) принимает вид

$$W = -\frac{1}{8} \frac{2\pi \rho_k^4 d \mu_0 (1 - \mu_0^2)}{(R_p + d \mu_0)^4}. \quad (12)$$

Учитывая, что  $\rho_k / (R_p + \mu_0 d) = \operatorname{tg} u$ , где  $u$  апертурный угол голограммы-копии, запишем (12) в следующем виде:

$$W = -\frac{1}{8} \operatorname{tg}^4 u d \mu_0 (1 - \mu_0^2). \quad (13)$$

Волновое число в этом выражении опущено и волновая aberrация  $W$  представляет собой линейное отклонение восстановленного фронта от сферы сравнения. Из выражения (13) следует, что величина волновой сферической aberrации френелевской копии при заданном значении  $\mu_0$  растет с увеличением апертурного угла  $u$  и величины зазора  $d$ .

Используя известное соотношение между величинами поперечной и волновой aberrации [3]

$$\delta l = -\frac{4W}{\operatorname{tg} u}, \quad (14)$$

найдем поперечную сферическую aberrацию копии

$$\delta l = \frac{1}{2} \operatorname{tg}^3 u d \mu_0 (1 - \mu_0^2). \quad (15)$$

Величина  $\delta l$  в данном случае определяет минимальный размер элемента, разрешаемого голограммой-копией.

Простой расчет показывает, что при малых апертурных углах ( $u \leq 20^\circ$ ) и практически используемых величинах зазора ( $d \leq 100$  мкм), копирование голограмм оригиналов, записанных на  $\lambda_0 = 0.633$  мкм, возможно зеленым и синим когерентным излучением без заметного ухудшения разрешения в восстановленном изображении.

Интересно отметить тот факт, что выражение (15) подобно выражению для поперечной сферической aberrации плоско-параллельной пластинки [3] с той лишь разницей, что вместо показателя преломления  $n$  стоит величина  $1/\mu_0$ , характеризующая изменение длины волны копирующего излучения относительно длины волны записи голограммы-оригинала. Физически это понятно, поскольку ход дифрагированного пучка при записи и восстановлении копии осевой голограммы при  $\mu_0 \neq 1$  эквивалентен ходу луча через плоско-параллельную пластинку с показателем преломления  $n$  [1].

В заключение отметим, что полученное в данной работе выражение для волновой aberrации фронта, восстановленного голограммой-копией, использовалось авторами для оценки качества френелевских копий внеосевых голограмм различных типов. Расчеты проводились на ЭВМ. Оценки качества изображения, допустимые величины зазоров между копией и голограммой хорошо согласуются с данными, полученными методом машинного расчета хода лучей и результатами эксперимента.

#### Литература

- [1] В. А. Ванин. Кvant. электрон., 5, 1413, 1978.
- [2] Е. В. Champrage. J. Opt. Soc. Am., 57, 51, 1967.
- [3] И. А. Турыгин. Прикладная оптика. «Машиностроение», М., 1966.

Поступило в Редакцию 19 апреля 1979 г.